

# ПРИМЕНЕНИЕ ОРТОГОНАЛЬНОГО ПРЕОБРАЗОВАНИЯ ВЕЙЛЯ-ГЕЙЗЕНБЕРГА ДЛЯ СЖАТИЯ ИЗОБРАЖЕНИЙ

*Асирян Валерий Мишевич*

*студент группы БЗС1401 МТУСИ*

*dmc5mod@yandex.ru*

*Волчков Валерий Павлович*

*д.т.н., профессор МТУСИ*

*volchkovvalery@mail.ru*

**Ключевые слова:** *сжатие изображений, ортогональный базис, базис Вейля-Гейзенберга, хорошая локализация, оптимальная функция, преобразование Фурье.*

В работе рассматриваются вопросы сжатия дискретных двумерных сигналов (изображений) с использованием ортогональных преобразований, в том числе ортогонального преобразования Вейля-Гейзенберга, обладающего свойством наилучшей локализации одновременно в частотной и временной областях. Приводится сравнение ортогонального преобразования Вейля-Гейзенберга с другими дискретными методами сжатия сигналов. В работе представлены результаты моделирования оптимального базиса Вейля-Гейзенберга, а также результаты применения данного метода сжатия непосредственно к изображениям.

## Введение

В настоящее время важнейшую роль в области цифровой обработки сигналов играют дискретные ортогональные преобразования, которые активно используются для анализа и обработки сигналов. Между тем, аппарат дискретных ортогональных преобразований находит свое место и в области сжатия данных для последующего экономичного хранения или передачи информации.

Одним из известных ортогональных преобразований является дискретное преобразование Фурье, получившее широкое распространение в цифровой обработке сигналов. Однако, на практике большинство сигналов (особенно изображения) являются нестационарными, и возникает необходимость получать информацию о спектре, локализованную в отдельных его фрагментах. Синтез универсального базиса, который позволяет функционально разделять сигнал на определенные фрагменты, а затем внутри них анализировать спектральные особенности сигнала, представляет сложную задачу. Однако, именно с помощью таких базисов можно учесть нестационарные особенности сигнала и получить большую эффективность сжатия. Наиболее важным примером таких базисов являются базисы Вейля-Гейзенберга, получаемые сдвигами по времени и частоте одной функции или целого семейства функций.

## 1. Синтез оптимального базиса Вейля-Гейзенберга

Первым этапом формирования базиса Вейля-Гейзенберга является выбор формирующей функции. Хорошо известно, что идеально локализованной в частотно-временной области является функция Гаусса. Однако, базис Вейля-Гейзенберга, построенный на ее основе (базис Габора), не является ортогональным. Тем не менее, использование стандартной процедуры ортогонализации, например, процесса Грама-Шмидта, приведет к значительному ухудшению частотно-временной локализации, и, как следствие, такой ортогональный базис Вейля-Гейзенберга не будет оптимальным.

В работах [1, 2] предлагается алгоритм построения оптимального базиса Вейля-Гейзенберга с использованием спектрального разложения. Ниже представлен полный алгоритм синтеза базисов Габора и оптимального базиса Вейля-Гейзенберга.

### 1.1. Формирование базиса Габора

1) В качестве формирующей функции выбирается дискретизированный усеченный гауссиан вида:

$$g_0(t) = (2\sigma)^{1/4} \exp(-\pi\sigma t^2) \quad (1)$$

На данном этапе важно выбрать такой интервал дискретизации, при котором гауссиан будет обусловлен наилучшим образом. В противном случае, процедура ортогонализации базиса пройдет некорректно.

2) Формируется матрица базиса Габора  $G=[G_R, G_I]$ , элементы которой определяются выражениями:

$$\begin{aligned} G_R(n, lM + k) &= g_0[(n - lM)_{\text{mod } N}] \exp(2\pi j \frac{k}{M} (n - a/2)) \\ G_I(n, lM + k) &= jg_0[(n + M/2 - lM)_{\text{mod } N}] \exp(2\pi j \frac{k}{M} (n - a/2)) \end{aligned} \quad (2)$$

$$n = 0, \dots, N-1, k = 0, \dots, M-1, l = 0, \dots, L-1, N = LM$$

где  $M$  – количество сдвигов по времени,  $L$  – количество сдвигов по частоте,  $a$  – некий параметр. Причем матрица  $G$  является прямоугольной, размерности  $(N, 2N)$ .

### 1.2. Формирование оптимального базиса Вейля-Гейзенберга

3) Формируется расширенная вещественная матрица Габора  $G_B = [\text{Re } G; \text{Im } G]$ .

4) Ищется спектральное разложение квадратной матрицы  $G_B G_B^* = S \Lambda S^*$ , где « $*$ » – эрмитово-сопряжение.

5) Вычисляются матрицы  $\Sigma = \Lambda^{1/2}$ ,  $W = G_B S \Sigma^{-1}$

6) Вычисляется оптимальная вещественная ортогональная матрица  $V_{onm} = S W^*$

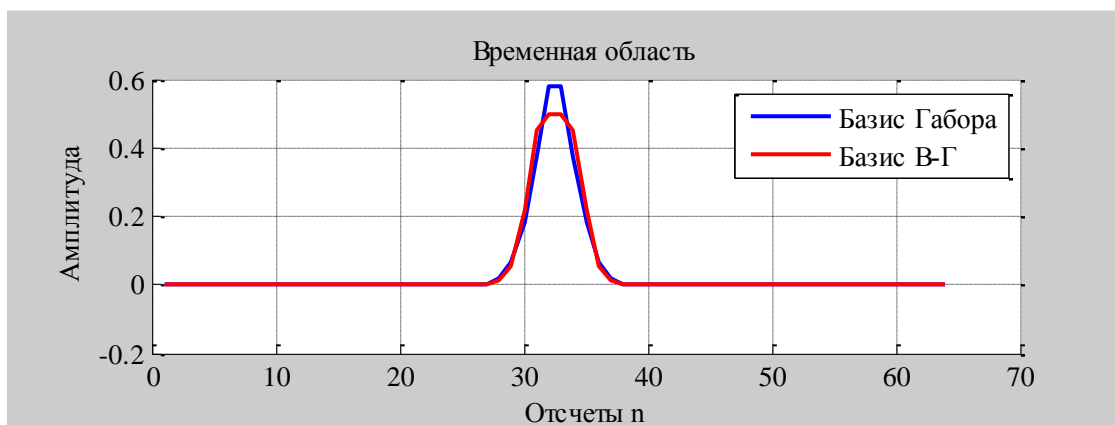
7) Из блочного разбиения квадратной матрицы  $V_{onm} = [V_{1onm}; V_{2onm}]$  находятся матрицы  $V_{1onm}$  и  $V_{2onm}$  размерности  $(N, 2N)$ .

8) Строится матрица оптимального базиса Вейля-Гейзенберга  $U_{onm} = V_{1onm} + jV_{2onm}$  размерности  $(N, 2N)$ .

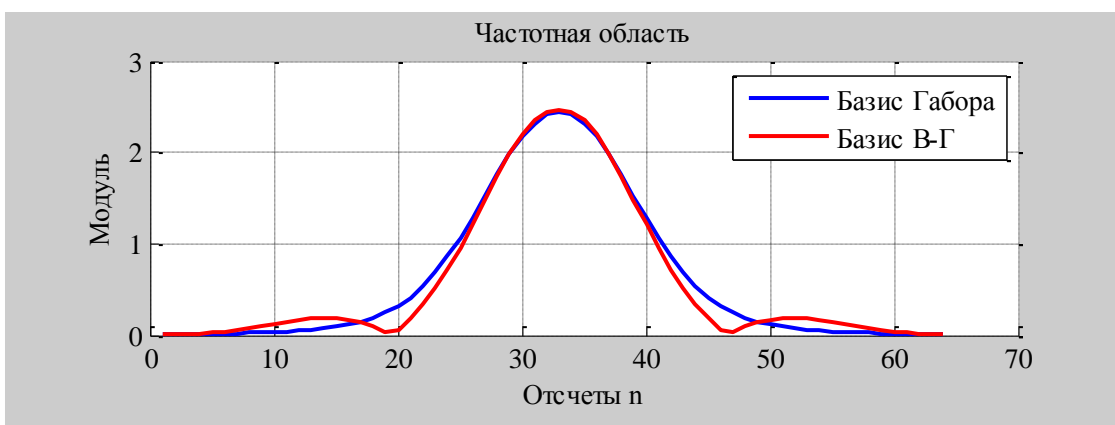
### 1.3. Результаты моделирования базисов

Ниже представлены результаты моделирования базисов Габора и Вейля-Гейзенберга при следующих параметрах:  $M = 8$ ,  $L = 8$ ,  $a = 3$ ,  $\sigma = 0.1$ . На рисунке 1 изображены базисные функции во временной области, соответствующие нулевым сдвигам по частоте и по времени. На рисунке 2 представлены те же базисные функции в частотной области, для удобства сдвинутые в середину графика. Из графиков видно, что процедура ортогонализации с использованием спектрального разложения привела к незначительному ухудшению временной и частотной локализации.

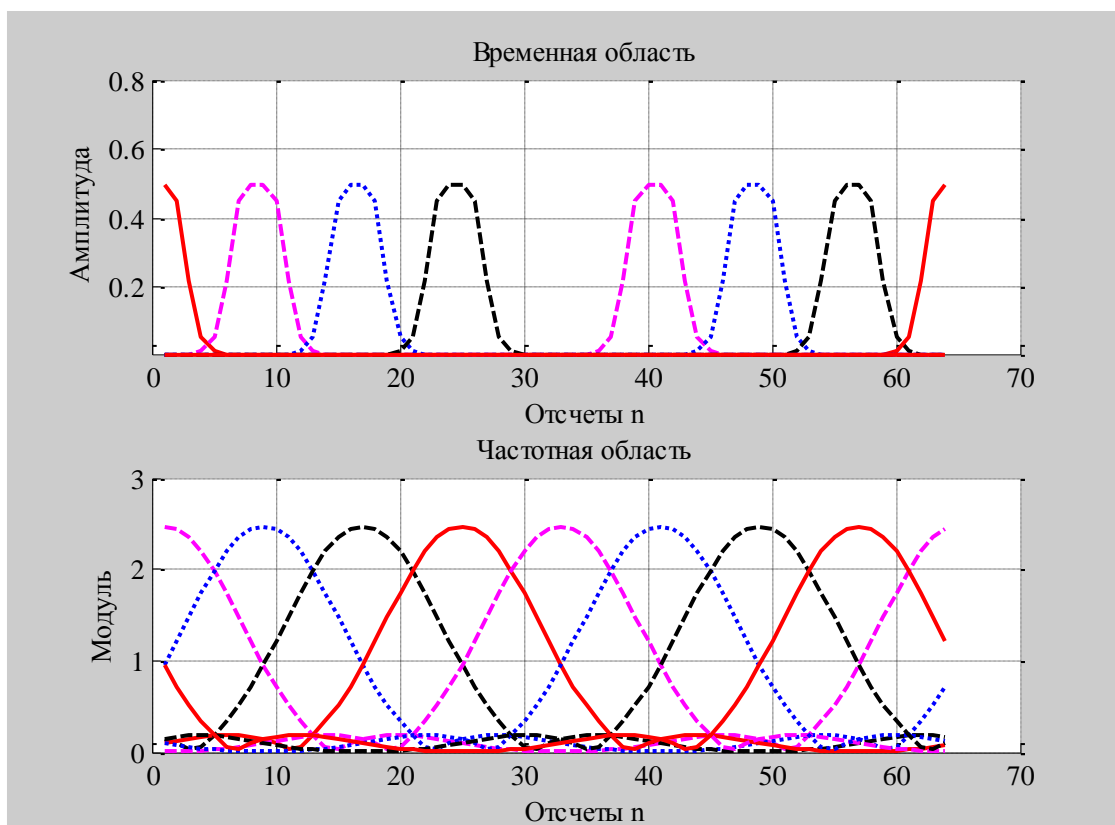
На рисунке 3 показано, что матрица оптимального базиса Вейля-Гейзенберга действительно состоит из базисной функции, сдвинутой по времени и частоте.



**Рис 1.** Базисы Габора и Вейля-Гейзенберга во временной области



**Рис 2.** Базисы Габора и Вейля-Гейзенберга в частотной области



**Рис 3.** Базисные сдвиги во временной и частотной областях

## 2. Ортогональное преобразование Вейля-Гейзенберга

Основная идея дискретных ортогональных преобразований заключается в изменении сигнала с целью придания ему другой формы, в которой он имеет, возможно, непривычный вид, но обладает полезными свойствами.

Важнейшим свойством ортогональных преобразований является их обратимость. Это значит, что преобразованный сигнал, изменивший свою форму и вид, можно легко вернуть в первоначальное состояние.

Прямоугольная ортогональная матрица оптимального базиса Вейля-Гейзенберга  $U_{onm}$  является «особенной», так как она ортогональна только в смысле вещественного скалярного произведения. Условие ортогональности в данном случае можно представить в матричном виде:

$$\text{Re}(U_{onm}^* U_{onm}) = I_{2N} \quad (3)$$

где  $I_{2N}$  – прямоугольная единичная матрица. Поэтому прямое и обратное одномерные ортогональные преобразования Вейля-Гейзенберга будут осуществляться следующим образом:

$$b = \text{Re}(U_{onm}^* a) \quad (4)$$

$$a' = U_{onm} b \quad (5)$$

Заметим, что для матрицы оптимального базиса Вейля-Гейзенберга не выполняется свойство унитарности, поскольку:

$$U_{onm} U_{onm}^* = 2I_{2N} \quad (6)$$

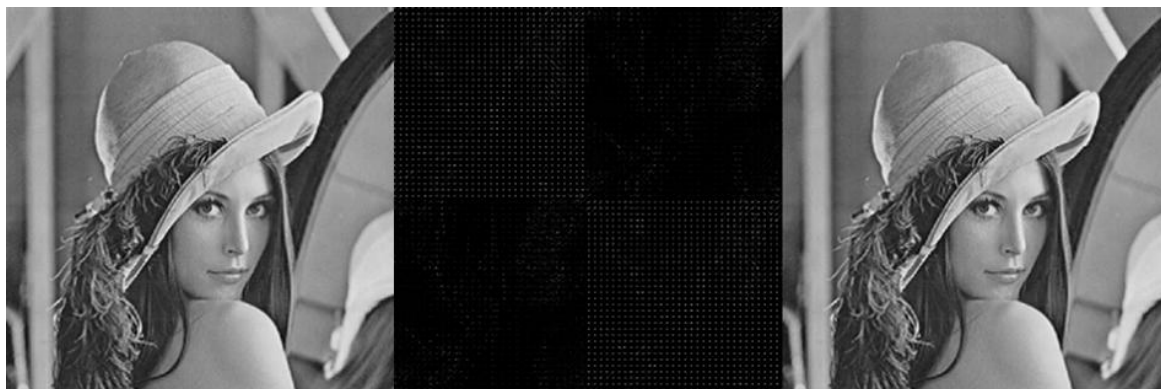
И, поэтому, прямое и обратное двумерные дискретные ортогональные преобразования Вейля-Гейзенберга будут определяться по формулам:

$$B = \text{Re}(U_{onm}^* A U_{onm}) \quad (7)$$

$$A' = U_{onm} B U_{onm}^* / 2 \quad (8)$$

Важно также отметить, что при прямом преобразовании происходит увеличение размера сигнального вектора или матрицы в 2 раза. Это еще одна особенность данного ортогонального базиса.

На рисунке 4 представлены исходное монохромное квадратное изображение «lena256.jpg» размеров 256×256 пикселей и его прямое и обратное ортогональные преобразования оптимальным базисом Вейля-Гейзенберга (*DWHT*) при значениях параметров:  $M = 8$ ,  $L = 32$ ,  $a = 3$ ,  $\sigma = 0.025$ .



**Рис 4.** Исходное изображение и его прямое и обратное *DWH*-преобразования

Несложно заметить, что исходное изображение и восстановленное практически не отличаются. В этом можно также убедиться, вычислив норму Фробениуса разности матриц исходного и восстановленного изображений:

$$A_{\Delta} = A - A' \quad (9)$$

$$E = \| A_{\Delta} \|_F = \sqrt{\sum_{i=1}^m \sum_{j=1}^n h_{ij}^2} \quad (10)$$

В дальнейшем формула (10) будет служить критерием качественных потерь, то есть главным показателем отличия восстановленного изображения от исходного.

В таблице 1 приведены результаты восстановления исходного изображения «lena256.jpg» с использованием преобразования Вейля-Гейзенберга (*DWHT*), преобразования Фурье (*DFT*) и косинусного преобразования (*DCT*). Очень малые ошибки восстановления в данном случае обусловлены только вычислительной погрешностью.

Таблица 1. Результаты восстановления изображения

Базис	<i>DWHT</i>	<i>DFT</i>	<i>DCT</i>
Потери качества: E	2.0479e-10	2.3763e-11	4.9210e-10

### 3. Сжатие данных по пороговому значению

Сжатие данных по пороговому значению представляет собой процедуру обнуления всех тех значений преобразованного изображения, модуль которых меньше определенного значения  $T$  – порога. Данный процесс представляет собой сжатие с потерями. Ниже представлен алгоритм сжатия данных вещественной матрицы  $B$  по пороговому значению  $T$ .

$$B_{ij} = \begin{cases} 0, & \text{если } |B_{ij}| < T, \\ B_{ij}, & \text{иначе.} \end{cases} \quad (11)$$

Если матрица  $B$  – комплексная, то с порогом сравнивается модуль каждого комплексного элемента  $B_{ij} = \text{Re}(B_{ij}) + \text{Im}(B_{ij})$ . В этом случае  $|B_{ij}| = \sqrt{\text{Re}(B_{ij})^2 + \text{Im}(B_{ij})^2}$ , а формула (11) формально будет справедлива и для комплексного и для вещественного случая.

Следует заметить, что при оптимально выбранном способе сжатия и пороге  $T$  потери будут незначительными, что позволит устранить лишнюю информацию, сохранив при этом целостность и качество восстанавливаемого изображения.

Степень сжатия информации будем определять по формуле:

$$K = N_c / N_o \quad (12)$$

где  $N_c$  – количество сжатых элементов, а  $N_o$  – общее количество анализируемых элементов.

Для базисов Фурье и косинусного преобразования общее количество анализируемых элементов матрицы преобразования будет находится по формуле:

$$N_o^{DFT} = N_o^{DCT} = N^2 \quad (13)$$

где  $N$  – высота матрицы исходного изображения.

Так как при прямом ортогональном преобразовании Вейля-Гейзенберга матрицы изображения  $A$  размерности  $(N, N)$  мы получаем вещественную матрицу преобразования  $B$  размерности  $(2N, 2N)$ , то общее количество анализируемых элементов будет определяться по формуле:

$$N_o^{DWHT} = 4N^2 \quad (14)$$

На рисунке 5 представлены результаты сжатия изображения «lena256.jpg» с использованием оптимального базиса Вейля-Гейзенберга (*DWHT*) при различных пороговых значениях. В таблице 2 приводятся подробные характеристики результатов сжатия.



**Рис 5.** Восстановленное изображение при значениях порога ( $T = 10, 25, 50$ )

**Таблица 2.** Результаты сжатия изображения при различных пороговых значениях

Базис	<i>DWHT</i>		
Пороговое значение: $T$	10	25	50
Общее кол-во элементов: $N_o$	262144	262144	262144
Кол-во сжатых эл-в: $N_c$	220873	246595	255694
Потери качества: $E$	145.2892	327.8115	563.0511
Степень сжатия: $K$	0.8426	0.9407	0.9754

#### 4. Сравнение ортогональных преобразований

Чтобы сравнить ортогональные преобразования *DWHT*, *DFT* и *DCT* по критерию качества восстановления, подберем такие пороговые значения  $T$  для базисов, при которых степень сжатия исходного изображения будет примерно одинаковой:

$$K = K_{DWHT} \approx K_{DFT} \approx K_{DCT} \quad (15)$$

Для сравнения базисов по степени сжатия, подберем такие пороговые значения, при которых показатели потери качества будут примерно одинаковыми, то есть:

$$E = E_{DWHT} \approx E_{DFT} \approx E_{DCT} \quad (16)$$

В таблицах 3, 4 приведены результаты сжатия исходного изображений с использованием *DWHT*, *DFT* и *DCT* при выбранных согласно условиям 15 и 16 пороговых значениях.

**Таблица 3.** Результаты сжатия при  $K = 0.83$

Базис	<i>DWHT</i>	<i>DFT</i>	<i>DCT</i>
Пороговое значение: $T$	9.7	22	20
Общее кол-во элементов: $N_o$	262144	65536	65536
Кол-во сжатых эл-в: $N_c$	219699	54780	54488
Потери качества: $E$	141.2321	395.6927	306.3160
Степень сжатия: $K$	0.8381	0.8359	0.8314

**Таблица 4.** Результаты сжатия при  $E = 270$

Базис	<i>DWHT</i>	<i>DFT</i>	<i>DCT</i>
Пороговое значение: $T$	20	14	17.3
Общее кол-во элементов: $N_o$	262144	65536	65536
Кол-во сжатых эл-в: $N_c$	242036	45394	51985
Потери качества: $E$	270.9123	270.9195	270.5099
Степень сжатия: $K$	0.9233	0.6927	0.7932

## 5. Выводы

По результатам исследования представленных выше алгоритмов сжатия можно заключить, что по сравнению с известными ортогональными базисами Фурье и косинусного преобразования оптимальный базис Вейля-Гейзенберга при фиксированной степени сжатия демонстрирует наименьшие потери качества при восстановлении изображения, а при требуемом показателе качества восстановления изображения дает наилучшую степень сжатия данных.

Таким образом, использование оптимального дискретного базиса Вейля-Гейзенберга оказывается весьма эффективным инструментом в задаче сжатия изображений. Это объясняется тем, что изображение представляет собой нестационарный двумерный случайный процесс, а преобразование Вейля-Гейзенберга позволяет более корректно учитывать эти нестационарные особенности, чем другие известные ортогональные преобразования.

## Литература

1. *В.П. Волчков*, «Сигнальные базисы с хорошей частотно-временной локализацией», М.: МТУСИ, 2009;
2. *Д.А. Петров*, «Синтез базиса Вейля-Гейзенберга», М.: МГУ им. М.В. Ломоносова, 2010.
3. *В.П. Волчков, Д.А. Петров*, «Оптимизация ортогонального базиса Вейля-Гейзенберга», Научные ведомости БелГУ, 2009;
4. *Р. Хорн, Ч. Джонсон*, «Матричный анализ», М.: Мир, 1989;
5. *Н. Ахмед, К.Р. Рао*, «Ортогональные преобразования при обработке цифровых сигналов», перевод с англ. Т.Э. Кренкеля, М.: Связь, 1980.